

Applications I : Ajustement et optimisation

Description du problème :

Soient

- $(t_1, y_1) \dots (t_n, y_n)$ des **données**, p. ex. des données expérimentales,
- $f(t; \beta_1, \dots, \beta_p)$ une fonction (un "modèle") qui dépend de certains **paramètres** β_1, \dots, β_p .

On cherche les valeurs des paramètres telles que la fonction f correspondante décrit le mieux les données :

$$f(t_i; \vec{\beta}) \approx y_i \quad \forall i.$$

Ajustement

Exemple : La trajectoire d'un objet en **chute libre** est donnée par une fonction quadratique f du temps t ,

$$f(t; \beta_1, \beta_2, \beta_3) = \beta_1 + \beta_2 t + \beta_3 t^2 \stackrel{!}{=} y(t)$$

Ici

- $\beta_1 = y_0$ est la hauteur initiale à $t = 0$,
- $\beta_2 = v_0$ est la vitesse initiale,
- $\beta_3 = -g/2$ avec g l'accélération gravitationnelle.

Lors d'une expérience, on mesure

t[s]	y [m]
0	1
0.31	3
0.59	4
1.02	4
1.32	3
1.74	0

Comment en obtient-on les valeurs numériques de y_0 , v_0 et g ?

Méthode des moindres carrés

Méthode standard : Méthode des moindres carrés.

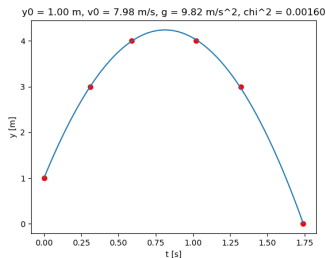
On définit le **résidu** r_i du point de données (t_i, y_i) par

$$r_i(\vec{\beta}) = f(t_i; \vec{\beta}) - y_i$$

et on cherche les valeurs des paramètres $\beta_1 \dots \beta_p$ telles que χ^2 , défini par

$$\chi^2(\vec{\beta}) \equiv \sum_{i=1}^n r_i^2(\vec{\beta})$$

est **minimisé**. Ces valeurs donnent le **meilleur ajustement** des paramètres aux données.



Généralisation pour incertitudes variables

Si les données sont de la forme $(t_i, y_i \pm \sigma_i)$ avec des σ_i différents, alors on minimise plutôt

$$\chi^2(\vec{\beta}) = \sum_{i=1}^n \left(\frac{r_i(\vec{\beta})}{\sigma_i} \right)^2, \quad r_i(\vec{\beta}) = f(t_i; \vec{\beta}) - y_i.$$

Ainsi, les points de données avec grandes incertitudes σ_i contribuent à l'ajustement avec un poids moins important.

Régression linéaire

Problème numérique : Comment minimiser χ^2 ?

Dans l'exemple de la chute libre, la fonction f dépend des paramètres $\beta_1, \beta_2, \beta_3$ **linéairement**,

$$f(t; \vec{\beta}) = \beta_1 + \beta_2 t + \beta_3 t^2.$$

Problème de **régression linéaire** : on cherche $\beta_1, \beta_2, \beta_3$ tels que

$$y_i \approx f(t_i; \vec{\beta}) \Leftrightarrow A\vec{\beta} \approx \vec{y}$$

où

$$A = \begin{pmatrix} 1 & x_1(t_1) & x_2(t_1) \\ 1 & x_1(t_2) & x_2(t_2) \\ 1 & x_1(t_3) & x_2(t_3) \\ \vdots & \vdots & \vdots \\ 1 & x_1(t_6) & x_2(t_6) \end{pmatrix} \quad \text{avec } x_1(t) = t, \quad x_2(t) = t^2.$$

Le système linéaire $A\vec{\beta} = \vec{y}$ est surdéterminé (6 équations pour seulement 3 inconnues ; χ^2 strictement positif). Le **meilleur ajustement** est donné par la **solution d' un système linéaire** de seulement 3 équations :

$$\boxed{A^T A \vec{\beta} = A^T \vec{y}}.$$

Preuve :

On souhaite minimiser $\vec{r}^2 = (A\vec{\beta} - \vec{y})^2$ par rapport à $\vec{\beta}$, alors on cherche le $\vec{\beta}$ où le gradient s'annule :

$$\frac{\partial}{\partial \beta_i} (A\vec{\beta} - \vec{y})^2 = 0.$$

Explicitement :

$$\begin{aligned} \frac{\partial}{\partial \beta_i} (A\vec{\beta} - \vec{y})^2 &= \frac{\partial}{\partial \beta_i} \sum_{ajk} (A_{aj}\beta_j - y_a)(A_{ak}\beta_k - y_a) \\ &= \sum_{ak} A_{ai}A_{ak}\beta_k + \sum_{aj} A_{aj}\beta_j A_{ai} - \sum_a y_a A_{ai} - \sum_a A_{ai}y_a \\ &= 2(A^T A\vec{\beta})_i - 2(A^T \vec{y})_i \end{aligned}$$

ce qui s'annule si $\vec{\beta}$ vérifie

$$A^T A\vec{\beta} = A^T \vec{y}.$$

Régression linéaire

```
import numpy as np
import numpy.linalg as la

# Les données:
t = np.array([0., .31, .59, 1.02, 1.32, 1.74])
y = np.array([1., 3., 4., 4., 3., 0.])

def x1(t):          # les variables prédicteur
    return t
def x2(t):
    return t**2

A = np.ones((6, 3)) # la matrice de coefficients
A[:, 1] = x1(t)     # (2ème colonne)
A[:, 2] = x2(t)     # (3ème colonne)

# Résoudre le système linéaire pour trouver les paramètres:
beta = la.solve(A.T @ A, A.T @ y)
y0, v0, g = beta[0], beta[1], -2 * beta[2]
```

Régression linéaire

Calculer χ^2 et tracer le résultat :

```
def f(t):  
    return y0 + v0 * t - g/2 * t**2  
  
r = f(t) - y          # les résidus  
chi2 = np.sum(r**2)  
  
import matplotlib.pyplot as plt  
tpoints = np.linspace(0, 1.74, 100)  
plt.plot(t, y, 'ro') # tracer les données  
plt.plot(tpoints, f(tpoints)) # tracer la courbe théorique  
plt.xlabel("t [s]")  
plt.ylabel("y [m]")  
plt.show()
```

Régression non linéaire

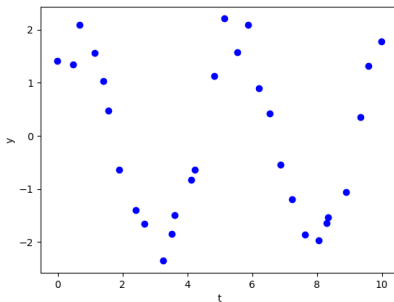
Dans l'exemple avant, la fonction d'ajustement $f(t; \vec{\beta})$ dépendait des paramètres $\beta_1 \dots \beta_p$ **linéairement**.

Si la dépendance est plus compliquée, la minimisation de χ^2 devient plus difficile.

Exemple : Ajuster une fonction sinusoïdale,

$$f(t; \beta_1, \beta_2, \beta_3) = \beta_1 \sin(\beta_2 t + \beta_3)$$

où β_1 est l'amplitude, β_2 la fréquence, β_3 la phase à $t = 0$.



Régression non linéaire : L'algorithme de Gauss-Newton

On cherche un **minimum** de $\chi^2(\vec{\beta})$.

- Méthode de Newton (rappel) : pour trouver un **zéro** de $g(x)$, on itère

$$x \leftarrow x - \frac{g(x)}{g'(x)}$$

- Pour trouver un **point critique** (potentiellement un **minimum**) de $g(x)$, on cherche un zéro de $g'(x)$: on itère

$$x \leftarrow x - \frac{g'(x)}{g''(x)}$$

- Généralisation à plusieurs variables : soit $g(\vec{\beta})$ une fonction de p variables $\vec{\beta}$. Pour trouver un point critique, itérer

$$\vec{\beta} \leftarrow \vec{\beta} - H^{-1}(\vec{\beta}) \vec{\nabla} g(\vec{\beta})$$

où la **matrice hessienne** $H(\vec{\beta})$ est

$$H = \begin{pmatrix} \frac{\partial^2 g}{\partial \beta_1^2} & \frac{\partial^2 g}{\partial \beta_1 \partial \beta_2} & \frac{\partial^2 g}{\partial \beta_1 \partial \beta_3} & \cdots & \frac{\partial^2 g}{\partial \beta_1 \partial \beta_p} \\ \frac{\partial^2 g}{\partial \beta_2 \partial \beta_1} & \frac{\partial^2 g}{\partial \beta_2^2} & \frac{\partial^2 g}{\partial \beta_2 \partial \beta_3} & \cdots & \frac{\partial^2 g}{\partial \beta_2 \partial \beta_p} \\ \vdots & & & & \vdots \\ \frac{\partial^2 g}{\partial \beta_p \partial \beta_1} & \frac{\partial^2 g}{\partial \beta_p \partial \beta_2} & \frac{\partial^2 g}{\partial \beta_p \partial \beta_3} & \cdots & \frac{\partial^2 g}{\partial \beta_p^2} \end{pmatrix}$$

Régression non linéaire : L'algorithme de Gauss-Newton

L'algorithme de Gauss-Newton évite le calcul de H en exploitant le fait que la fonction à minimiser est une somme de carrés :

$$\chi^2(\beta_1 \dots \beta_p) = r_1(\vec{\beta})^2 + r_2(\vec{\beta})^2 + \dots + r_n(\vec{\beta})^2 = \vec{r} \cdot \vec{r}$$

avec les n résidus

$$r_i(\vec{\beta}) = f(t_i; \vec{\beta}) - y_i$$

Alors

$$\vec{\nabla} \chi^2 = \begin{pmatrix} 2 r_1 \frac{\partial r_1}{\partial \beta_1} + 2 r_2 \frac{\partial r_2}{\partial \beta_1} + \dots + 2 r_n \frac{\partial r_n}{\partial \beta_1} \\ 2 r_1 \frac{\partial r_1}{\partial \beta_2} + 2 r_2 \frac{\partial r_2}{\partial \beta_2} + \dots + 2 r_n \frac{\partial r_n}{\partial \beta_2} \\ \vdots \\ 2 r_1 \frac{\partial r_1}{\partial \beta_p} + 2 r_2 \frac{\partial r_2}{\partial \beta_p} + \dots + 2 r_n \frac{\partial r_n}{\partial \beta_p} \end{pmatrix} = 2 \vec{r} J$$

Ici J est la matrice jacobienne $n \times p$

$$J_{ij} = \frac{\partial r_i}{\partial \beta_j}.$$

De plus,

$$H_{ij} = \frac{\partial}{\partial \beta_i} (\nabla \chi^2)_j = \frac{\partial}{\partial \beta_i} (2 \vec{r} J)_j = 2 \left(J^T J \right)_{ij} + 2 \vec{r} \cdot \frac{\partial^2 \vec{r}}{\partial \beta_i \partial \beta_j} \approx 2 \left(J^T J \right)_{ij}$$

(en supposant que les termes $\vec{r} \cdot \frac{\partial^2 \vec{r}}{\partial \beta_i \partial \beta_j}$ sont négligeables).

Regression non linéaire : L'algorithme de Gauss-Newton

On a trouvé

$$\vec{\nabla} \chi^2 = 2 \vec{r} J$$

et

$$H \approx 2 (J^T J)$$

où \vec{r} est le vecteur à n composantes des résidus (fonctions des paramètres β_i)

$$r_i(\vec{\beta}) = f(t_i; \vec{\beta}) - y_i$$

et J est la matrice jacobienne $n \times p$ de \vec{r} par rapport à $\vec{\beta}$,

$$J = \frac{\partial \vec{r}}{\partial \vec{\beta}} = \frac{\partial f}{\partial \vec{\beta}}.$$

L'itération de la méthode de Newton pour trouver un point critique de $\chi^2 = \vec{r} \cdot \vec{r}$ devient

$$\boxed{\vec{\beta} \leftarrow \vec{\beta} - (J^T J)^{-1} \vec{r} J}$$

Méthode de Gauss-Newton.

En pratique :

- Calculer analytiquement les dérivées $\frac{\partial f}{\partial \beta_j}$.
- Commencer avec un ensemble de paramètres $\vec{\beta}$ au choix.
- Mettre à jour les $r_i = f(t_i; \vec{\beta}) - y_i$ et les $J_{ij} = \frac{\partial f}{\partial \beta_j}(t_i; \vec{\beta})$.
- Remplacer $\vec{\beta} \leftarrow \vec{\beta} - (J^T J)^{-1} \vec{r} J$.
Équivalent, à préférer en pratique (car plus stable) : calculer le nouveau $\vec{\beta}$ avec la **solution d'un système linéaire**, trouvée p.ex. par la méthode de Gauss :
$$\vec{\beta}_{\text{nouveau}} = \vec{\beta}_{\text{ancien}} + \vec{\delta}, \quad \vec{\delta} = (\text{solution de } J^T J \vec{\delta} = -\vec{r} J).$$
- Itérer ces dernières deux étapes jusqu'à la convergence.
S'arrêter lorsque $\|\vec{\delta}\| < \epsilon$.

Régression non linéaire : L'algorithme de Gauss-Newton

On supposera que les fonctions $\frac{\partial f}{\partial \beta_j}$ sont données dans une liste `gradf` :

```
import numpy as np
import gauss # pour la fonction gauss() du cours

def gauss_newton(t, y, f, gradf, beta0, epsilon=1.E-4):
    beta = np.copy(beta0) # les paramètres à ajuster
    delta = np.ones(len(beta)) # diff. entre deux itérations

    while np.sqrt(np.sum(delta**2)) > epsilon:
        r = f(t, beta) - y # les résidus
        J = np.array([df(t, beta) for df in gradf]).T # matr. J
        delta = gauss.gauss(J.T @ J, - r @ J) # sol. du système
        beta += delta

    chi2 = np.sum(r**2) # chi^2 après minimisation
    return beta, chi2
```

Algorithme de Gauss-Newton : Exemple d'application

Par exemple, pour la fonction sinusoidale ci-dessus :

$$f(t; \vec{\beta}) = \beta_1 \sin(\beta_2 t + \beta_3)$$

et donc

$$\frac{\partial f}{\partial \beta_1}(t; \vec{\beta}) = \sin(\beta_2 t + \beta_3), \quad \frac{\partial f}{\partial \beta_2}(t; \vec{\beta}) = \beta_1 \cos(\beta_2 t + \beta_3) t,$$
$$\frac{\partial f}{\partial \beta_3}(t; \vec{\beta}) = \beta_1 \cos(\beta_2 t + \beta_3) .$$

```
# la fonction modèle
```

```
def f(t, beta):
```

```
    return beta[0] * np.sin(beta[1] * t + beta[2])
```

```
# ses dérivées partielles par rapport aux paramètres
```

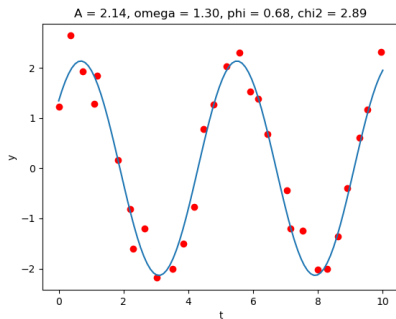
```
df = [lambda t, beta: np.sin(beta[1]*t + beta[2]),  
      lambda t, beta: beta[0]*np.cos(beta[1]*t + beta[2])*t,  
      lambda t, beta: beta[0]*np.cos(beta[1]*t + beta[2])]
```

```
data = np.loadtxt('noisysin.txt').T # les données
```

```
beta, chi2 = gauss_newton(data[0], data[1], f, df,  
                          np.array([2., 1., 0.]])
```

Algorithme de Gauss-Newton : Exemple d'application

$$f(t; A, \omega, \phi) = A \sin(\omega t + \phi)$$



Régression non linéaire : Algorithme de Levenberg-Marquardt

Faiblesse de la méthode de Gauss-Newton : si on commence avec une première estimation **trop imprécise**, alors l'itération **ne ne trouvera pas le minimum**.

Ce problème est amélioré dans une modification de l'algorithme menant à la **méthode de Levenberg-Marquardt**.

Gauss-Newton :

$$\vec{\beta}_{\text{nouveau}} = \vec{\beta}_{\text{ancien}} + \vec{\delta}, \quad J^T J \vec{\delta} = -\vec{r} J$$

Levenberg-Marquardt :

$$\vec{\beta}_{\text{nouveau}} = \vec{\beta}_{\text{ancien}} + \vec{\delta}, \quad \left(J^T J + \lambda \mathbb{1} \right) \vec{\delta} = -\vec{r} J$$

où $\lambda \geq 0$ est un paramètre dit **d'amortissement**, à adapter à chaque itération.

- Si $\lambda \rightarrow 0$, la méthode s'approche à celle de Gauss-Newton.
- Pour des grands λ , on s'approche à la **méthode du gradient** : la variation $\vec{\delta}$ suit la direction de la plus forte pente $-\vec{r} J \propto -\vec{\nabla} \chi^2$.

Algorithme :

- Choisir une assez petite valeur initiale de λ (disons 10^{-4}).
- Faire tourner l'algorithme modifié de Gauss-Newton en remplaçant $J^T J \rightarrow J^T J + \lambda \mathbb{1}$.
- A chaque itération, calculer χ^2 .
 - Si χ^2 a grandi par rapport à l'itération précédente, retourner à l'ancien $\vec{\beta}$ et refaire avec $\lambda \leftarrow 10 \lambda$.
 - Si χ^2 a diminué, garder le nouveau $\vec{\beta}$ et continuer avec $\lambda \leftarrow \lambda/10$.
- S'arrêter dès que χ^2 diminue par moins que $\approx 10^{-2}$ entre deux itérations.

Propriétés :

- Par rapport à Gauss-Newton, convergence **légèrement moins rapide** mais **plus stable**.
- Beaucoup de variations et d'optimisations existent.

Soit $f : E \subset \mathbb{R}^n \rightarrow \mathbb{R}$ une fonction ; on cherche un **minimum** (local) de f .

Généralise l'ajustement où la fonction à minimiser était χ^2 .

Deux classes de méthodes :

- 1 Méthodes nécessitant l'évaluation des **dérivées** de f (en supposant qu'elles existent et soient facilement calculables, au moins approximativement)
- 2 Méthodes ne nécessitant que le calcul des **valeurs** de f

Optimisation : Méthode de Newton dans n dimensions

Exemple d'une méthode avec dérivées : la **méthode de Newton n -dimensionnelle**.

Comme avant : un minimum de f est un zéro de $\vec{\nabla} f$; on cherche alors une solution \vec{x} de

$$\vec{\nabla} f(\vec{x}) = \vec{0}$$

par l'itération

$$\vec{x} \leftarrow \vec{x} - H^{-1}(\vec{x}) \vec{\nabla} f(\vec{x})$$

avec H la matrice hesséenne des dérivées secondes.

Les éléments de $\vec{\nabla} f$ et de H peuvent s'approximer par des **différences finies**,

$$\frac{\partial f}{\partial x_i}(\vec{x}) = \lim_{h \rightarrow 0} \frac{f(\vec{x} + h\vec{e}_i) - f(\vec{x} - h\vec{e}_i)}{2h},$$

$$\frac{\partial^2 f}{\partial x_i \partial x_j}(\vec{x}) = \lim_{h \rightarrow 0} \frac{f(\vec{x} + h(\vec{e}_i + \vec{e}_j)) + f(\vec{x} - h(\vec{e}_i + \vec{e}_j)) - f(\vec{x} + h(\vec{e}_i - \vec{e}_j)) - f(\vec{x} - h(\vec{e}_i - \vec{e}_j))}{4h^2}$$

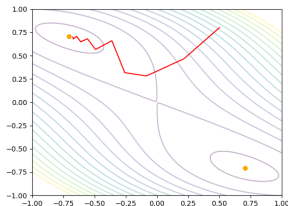
- Problème de **stabilité** : L'algorithme a tendance à ne pas converger si les valeurs initiales ne sont pas déjà assez proches du minimum.
- Problème de **coût** : Parfois l'évaluation de f nécessite un lourd calcul numérique \Rightarrow intérêt de minimiser le nombre d'appels de fonction à f . Le calcul de H **coûte cher**.

Optimisation : Méthode du gradient

Idée : Descendre dans la **direction de la plus grande pente**,

$$\vec{x} \leftarrow \vec{x} - \lambda \vec{\nabla} f(\vec{x}).$$

Ici le paramètre $\lambda > 0$ peut varier (on réduira λ quand on est proche du minimum).

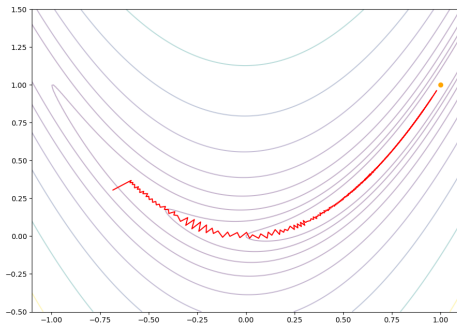


Algorithme :

- 1 Commencer avec une première estimation $\vec{x} = \vec{x}_0$ et une valeur de départ $\lambda = \lambda_0$.
- 2 Numériquement calculer $\vec{\nabla} f(\vec{x})$.
- 3 Si $f(\vec{x} - \lambda \vec{\nabla} f(\vec{x})) > f(\vec{x})$, réessayer avec $\lambda \leftarrow \lambda/2$.
Si $f(\vec{x} - \lambda \vec{\nabla} f(\vec{x})) < f(\vec{x})$, remplacer $\vec{x} \leftarrow \vec{x} - \lambda \vec{\nabla} f(\vec{x})$ et tester convergence.
- 4 Si pas de convergence, continuer à partir de (2) avec $\lambda \leftarrow 2\lambda$.

Optimisation : Méthode du gradient

Problème : Convergence très mauvaise si le minimum est dans un “fond de vallée allongée”. Exemple :



Après 2500 itérations on n'a toujours pas trouvé le minimum au point orange, le chemin de descente zigzague et ne s'y approche que très lentement. Par un choix optimal de λ (minimiser la fonction le long de la direction du gradient) on pourrait légèrement améliorer la vitesse de convergence, **sans pourtant complètement résoudre ce problème.**

Optimisation : Méthode du gradient conjugué

Mieux : Au lieu de suivre la direction du gradient à chaque itération, suivre un chemin de directions \vec{h}_i tel que, autant que possible,

$$\vec{h}_i \cdot H_f \cdot \vec{h}_j = 0 \quad \forall j < i.$$

Il se trouve qu'on peut construire les \vec{h}_i approximativement **sans connaître H_f** . Méthode du **gradient conjugué**.

Algorithme :

- 1 Commencer à $\vec{x} = \vec{x}_0$. Calculer $\vec{\nabla} f(\vec{x}_0)$ et poser $\vec{h}_0 = \vec{g}_0 = -\vec{\nabla} f(\vec{x}_0)$.
- 2 Minimiser f le long de la droite $\vec{x}_0 + \lambda \vec{h}_0$ par rapport à λ (p.ex. par la méthode de Newton 1-dimensionnelle), ce qui donne \vec{x}_1 .
(Ce premier pas = un pas de la méthode du gradient avec λ optimal.)

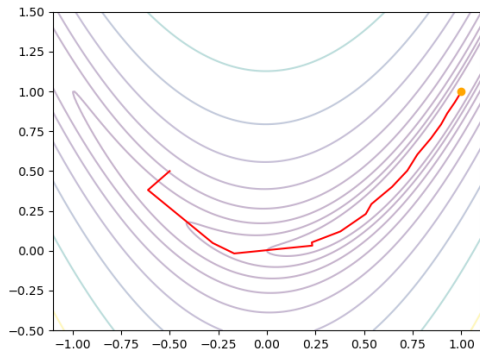
- 3 Calculer $\vec{g}_i = -\vec{\nabla} f(\vec{x}_i)$. Poser

$$\gamma_i = \max \left(\frac{(\vec{g}_i - \vec{g}_{i-1}) \cdot \vec{g}_i}{\vec{g}_{i-1} \cdot \vec{g}_{i-1}}, 0 \right) \quad \text{“préscriptioin de Polak-Ribière”}$$

$$\text{et } \vec{h}_i = \vec{g}_i + \gamma_i \vec{h}_{i-1}.$$

- 4 Minimiser f le long de la droite $\vec{x}_i + \lambda \vec{h}_i$, ce qui donne \vec{x}_{i+1} .
- 5 Itérer à partir de (3) jusqu'à la convergence.

Optimisation : Méthode du gradient conjugué

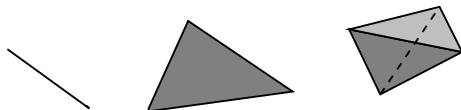


(20 itérations pour trouver le minimum à une précision de 10^{-5})

Optimisation sans dérivées : la méthode de Nelder-Mead

Un **simplexe** en n dimensions est donné par $n + 1$ points non dégénérés. Par exemple :

- en $n = 1$, deux points non dégénérés forment un **segment de droite**,
- en $n = 2$, trois points non dégénérés forment un **triangle**,
- en $n = 3$, quatre points non dégénérés forment un **tétraèdre**.



Optimisation sans dérivées : la méthode de Nelder-Mead

Le point de départ de la **méthode de Nelder-Mead** est un simplexe que l'on transforme de façon répétée afin de trouver un minimum de la fonction f :

- **réflexion** d'un point par rapport à la face opposé,
- **réflexion et expansion**,
- **contraction** dans une direction,
- **rétrécissement** du simplexe entier.

Optimisation sans dérivées : la méthode de Nelder-Mead

Algorithme :

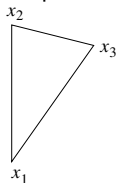
- 1 Commencer avec un n -simplexe $\vec{x}_1 \dots \vec{x}_{n+1}$.
- 2 Tester convergence. Trier les points de façon que $f(\vec{x}_1) \leq \dots \leq f(\vec{x}_n) \leq f(\vec{x}_{n+1})$.
- 3 Calculer \vec{x}_0 , le barycentre des points $\vec{x}_1 \dots \vec{x}_n$:

$$\vec{x}_0 = \frac{1}{n} \sum_{k=1}^n \vec{x}_k.$$

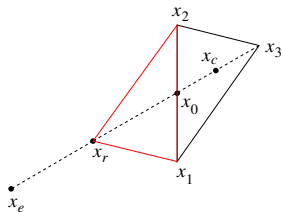
- 4 Calculer \vec{x}_r , obtenu par réflexion de \vec{x}_{n+1} par rapport à \vec{x}_0 : $\vec{x}_r = 2\vec{x}_0 - \vec{x}_{n+1}$.
- 5 Si $f(\vec{x}_1) \leq f(\vec{x}_r) \leq f(\vec{x}_n)$, **réflexion** : $\vec{x}_{n+1} \leftarrow \vec{x}_r$.
- 6 Sinon, si $f(\vec{x}_r) < f(\vec{x}_1)$, calculer $\vec{x}_e = 2\vec{x}_r - \vec{x}_0$.
 - Si $f(\vec{x}_e) < f(\vec{x}_r)$, **réflexion et expansion** : $\vec{x}_{n+1} \leftarrow \vec{x}_e$.
 - Sinon, **réflexion** : $\vec{x}_{n+1} \leftarrow \vec{x}_r$.
- 7 Sinon, calculer $\vec{x}_c = \frac{1}{2}\vec{x}_0 + \frac{1}{2}\vec{x}_{n+1}$.
 - Si $f(\vec{x}_c) < f(\vec{x}_{n+1})$, **contraction** : $\vec{x}_{n+1} \leftarrow \vec{x}_c$.
 - Sinon, **rétrécissement** : $\vec{x}_i \leftarrow \frac{1}{2}\vec{x}_1 + \frac{1}{2}\vec{x}_i$ ($i = 2 \dots n + 1$).
- 8 Itérer à partir de (2).

Optimisation sans dérivées : la méthode de Nelder-Mead

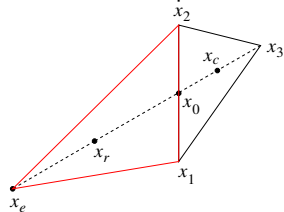
Simplexe de départ :



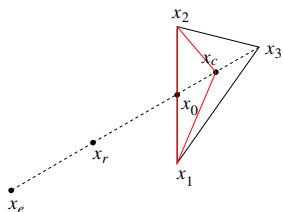
Réflexion :



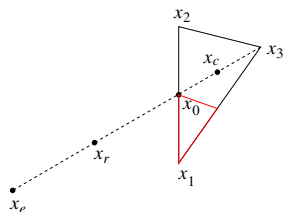
Réflexion + expansion :



Contraction :



Rétrécissement :



Applications II : Problèmes de Sturm-Liouville

Python

- Aperçu de la bibliothèque SciPy pour la programmation scientifique avec Python
- Le mode interactif de Python avec l'interface Jupyter

La bibliothèque SciPy (<http://www.scipy.org>) est une extension de NumPy qui fournit de la fonctionnalité supplémentaire pour la **programmation scientifique** et en particulier pour la **physique numérique**.

Une grande partie des routines de SciPy prend appui sur les bibliothèques de logiciels d'analyse numérique du site Netlib (<http://www.netlib.org/>) dont la plupart est implémentée en C ou FORTRAN. Pour cette raison les fonctions de SciPy sont typiquement **beaucoup plus efficaces** qu'une fonction équivalente entièrement implémentée en Python. De plus, les bibliothèques de Netlib ont été testés et débougés pendant des dizaines d'années, alors elles sont relativement fiables.

On a déjà rencontré la sous-bibliothèque `scipy.linalg` contenant des routines d'algèbre linéaire numérique. D'autres modules sont :

- `scipy.constants` qui contient les valeurs numériques de nombreuses constantes physiques
- `scipy.special` qui définit des **fonctions spéciales** comme les fonctions d'Airy, de Bessel (et leurs primitives et dérivées), des polynômes orthogonaux, la fonction Gamma et les fonctions liées, les fonctions elliptiques, hypergéométriques ...
- `scipy.integrate` pour le **calcul numérique des intégrales** des fonctions numériques, ainsi que pour la solution numérique des systèmes d'**équations différentielles** avec des conditions initiales
- `scipy.optimize` pour la **maximisation ou minimisation** numérique des fonctions à plusieurs variables et pour la **recherche des zéros**
- `scipy.sparse` pour des méthodes du calcul matriciel et l'algèbre linéaire optimisées pour les **matrices creuses**

- `scipy.interpolate` pour l'**interpolation** entre des points de données discrètes
- `scipy.fftpack` pour le calcul des **transformations de Fourier**
- `scipy.signal` pour des méthodes de **traitement de signal**
- `scipy.stats` pour des méthodes de **statistique**
- ...et de nombreux autres.

Ici on ne va pas systématiquement discuter toute la fonctionnalité de SciPy. Nous allons plutôt découvrir quelques aspects sélectionnés de l'utilisation de SciPy avec un interface interactif : le **notebook graphique Jupyter**.

- Pour travailler avec les fichiers d'exemples, télécharger les trois fichiers `LennardJones.ipynb`, `Membrane.ipynb` et `Corde.ipynb` de la page Moodle du cours.
- Pour lancer l'interface : dans une console, entrer `jupyter notebook`. Sélectionner p.ex. le fichier `LennardJones.ipynb`.
- Le contenu du fichier est divisé en **cellules** : il y a des cellules de text avec des explications et des cellules de code source. Pour exécuter le code dans une cellule, marquer et entrer `[Shift] + [Enter]`.